



“MONITOREAMIENTO DEL EFECTO POSTSISMICO DEL TERREMOTO DEL MAULE, A PARTIR DE OBSERVACIONES GNSS”



UNAVCO



Juan Carlos Báez Soto, UDEC, jbaez@udec.cl

Hector Parra, IGM-Chile

Rodrigo Maturana, IGM-Chile



Tectonic setting of Chile

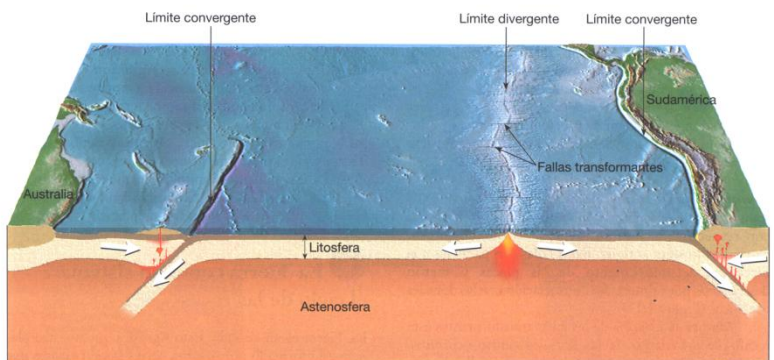
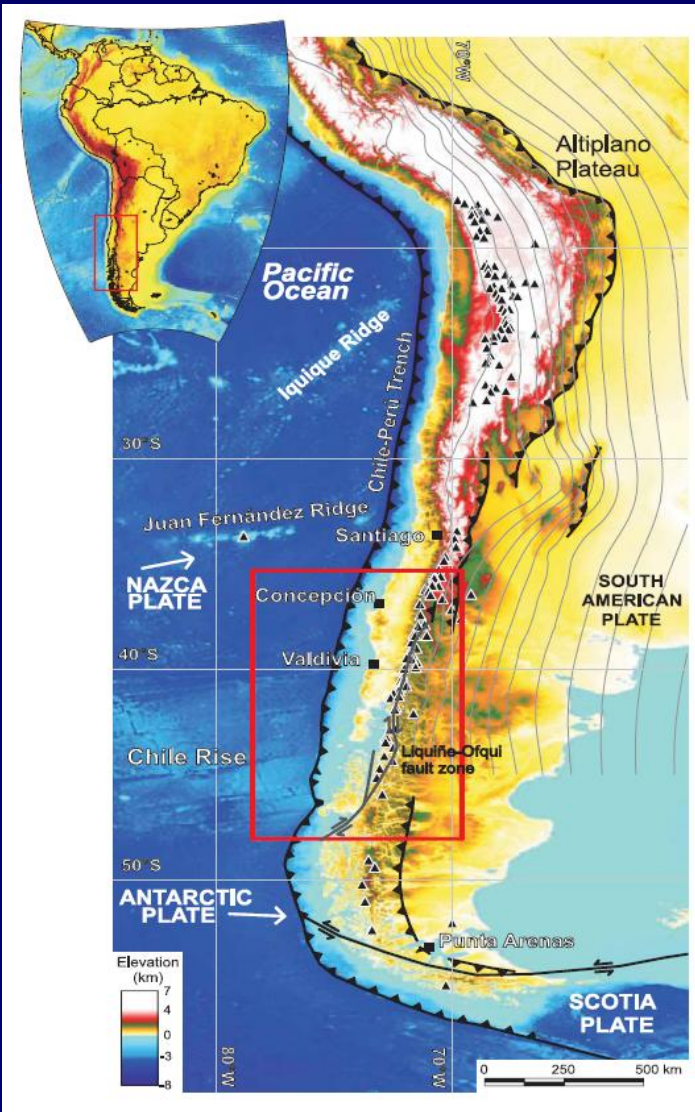
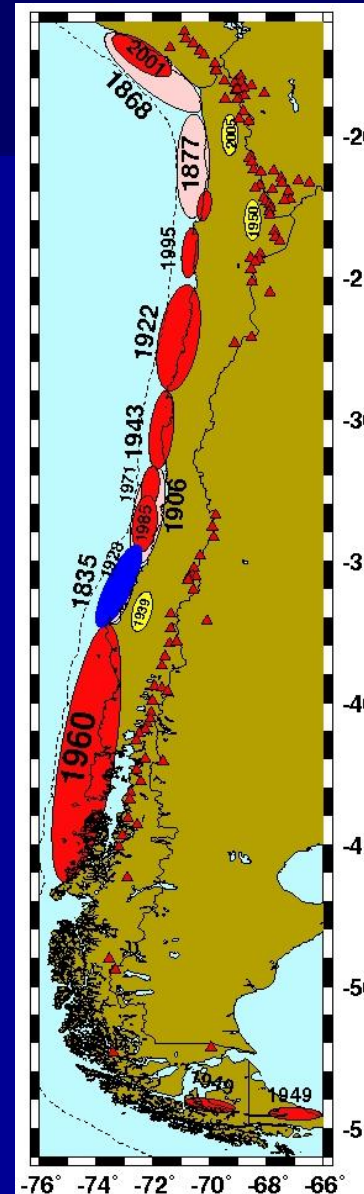


Figura 1.11 Vista de la Tierra en la que se muestra la relación entre los límites de placa divergentes y convergentes.



Moreno et al, 2010





Ciclo Sísmico

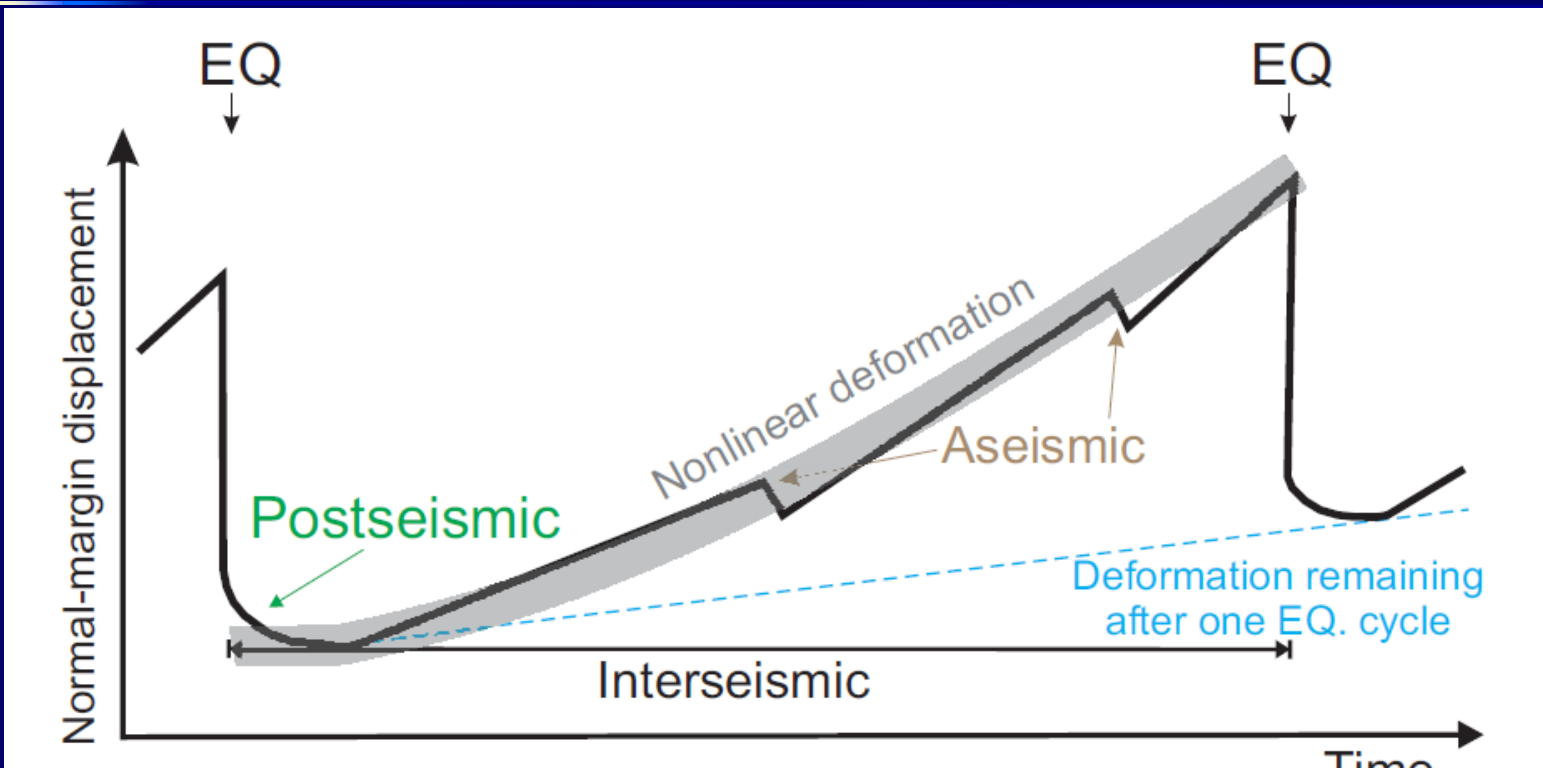
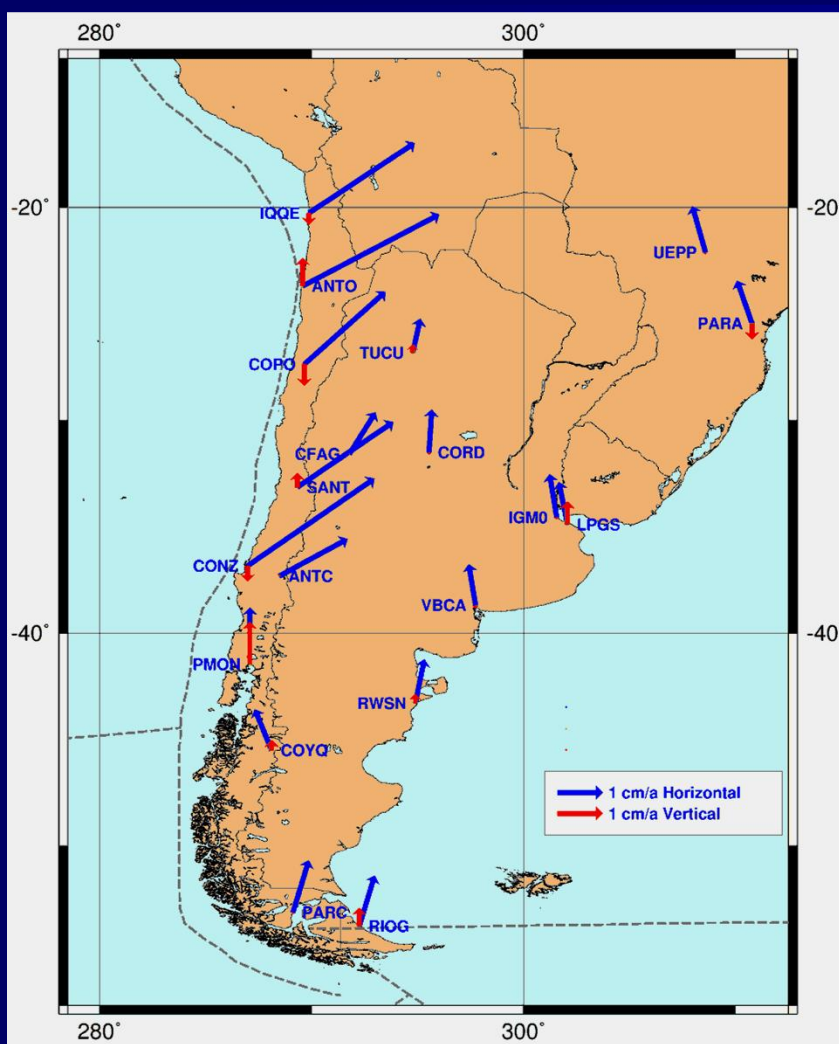


Figure 1.1: Scheme of the earthquake cycle deformation for a surface site above the seismogenic zone in a subduction zone. Periods of transient deformation may be superimposed on interseismic strain accumulation influencing the interface coupling.

Moreno et al, 2010



Tendencias Previas

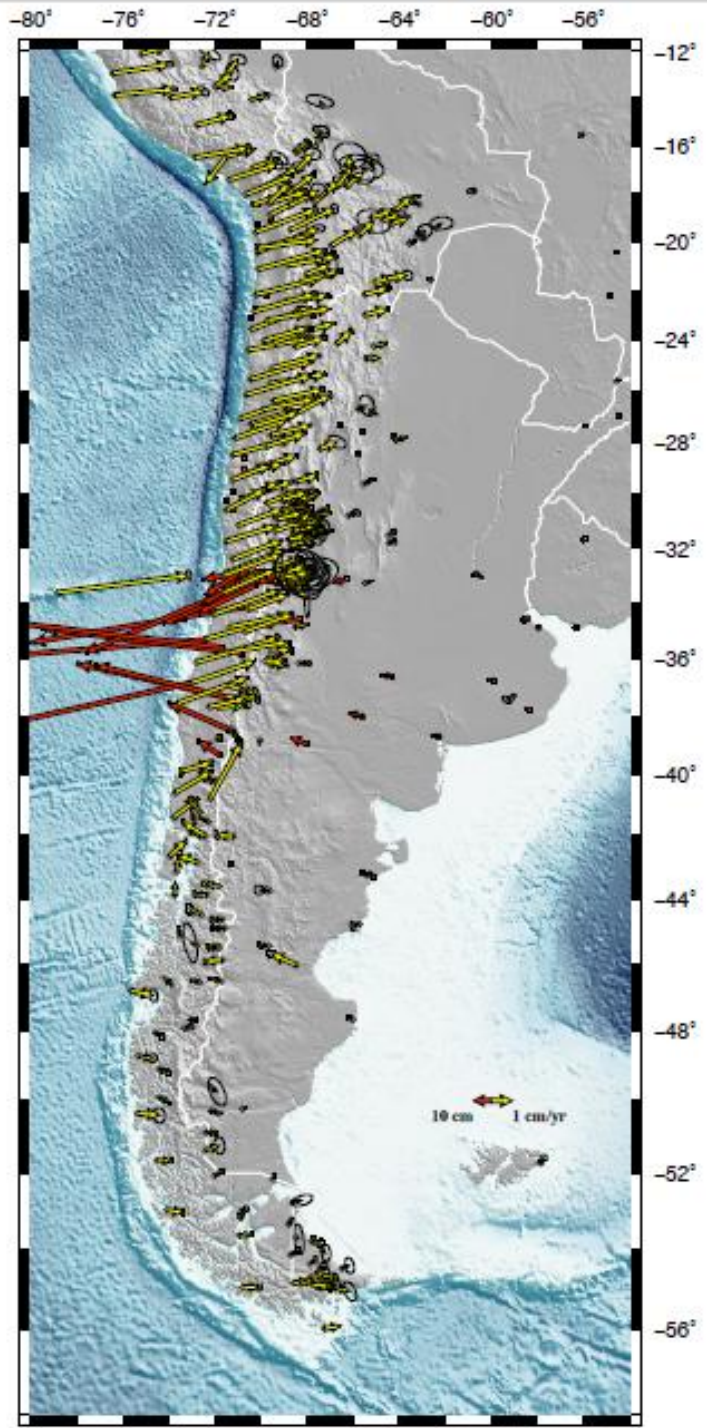


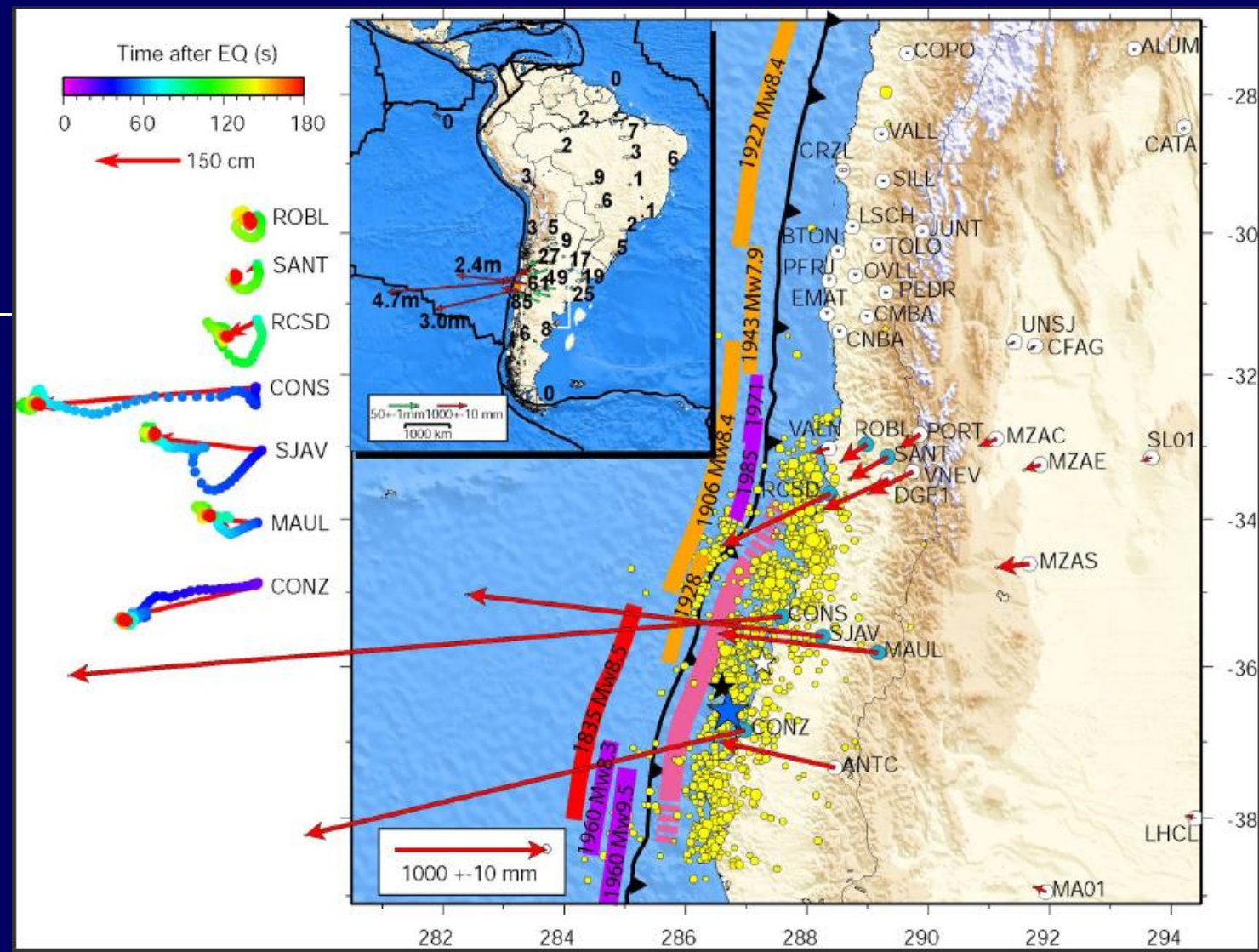
EST.	N (mm/a) σ	E (mm/a) σ	UP (mm/a) σ
ANTC	$8,2 \pm 0,5$	$15,1 \pm 0,5$	$0,3 \pm 2,1$
ANTO	$15,8 \pm 0,9$	$30,2 \pm 1,1$	$6,2 \pm 3,0$
CFAG	$9,2 \pm 1,3$	$5,8 \pm 1,6$	$0,0 \pm 3,3$
CONZ	$19,3 \pm 1,0$	$28,1 \pm 1,0$	$-3,5 \pm 3,8$
COPO	$16,0 \pm 1,1$	$17,9 \pm 0,9$	$-4,7 \pm 3,3$
CORD	$9,5 \pm 0,7$	$0,6 \pm 0,9$	$-0,4 \pm 3,1$
COYQ	$9,0 \pm 0,5$	$-2,2 \pm 0,6$	$2,2 \pm 1,6$
IGM0	$9,5 \pm 1,7$	$-1,6 \pm 0,7$	$-0,4 \pm 3,2$
IQQE	$15,5 \pm 1,3$	$23,4 \pm 1,6$	$-2,5 \pm 4,6$
LPGS	$9,4 \pm 0,6$	$-1,9 \pm 0,5$	$5,1 \pm 3,1$
PARA	$9,4 \pm 0,6$	$-3,3 \pm 0,7$	$-3,5 \pm 2,1$
PARC	$11,5 \pm 0,5$	$3,5 \pm 0,7$	$-0,3 \pm 2,1$
PMON	$-12,5 \pm 0,8$	$0,0 \pm 0,6$	$9,4 \pm 1,8$
RIOG	$11,2 \pm 0,3$	$3,4 \pm 0,3$	$4,1 \pm 0,7$
RWSN	$9,7 \pm 0,9$	$-2,7 \pm 0,5$	$2,0 \pm 1,5$
SANT	$14,4 \pm 0,5$	$21,2 \pm 0,8$	$3,1 \pm 0,7$
TUCU	$7,5 \pm 0,5$	$1,7 \pm 0,8$	$1,9 \pm 2,0$
UEPP	$10,2 \pm 0,5$	$-2,9 \pm 0,4$	$-0,4 \pm 0,8$
VBCA	$9,0 \pm 0,5$	$-1,5 \pm 0,8$	$-0,7 \pm 2,3$

BAEZ et al 2007



A map showing interseismic velocities (yellow) and Maule co-seismic displacement (red) for the M8.8 Chile earthquake. Ben Brooks, James Foster, Mike Bevis, Bob Smalley, Hector Parra, Juan Carlos Báez Soto, Mauro Blanco, Eric Kendrick, Jeff Genrich, and Dana Caccamise





The 2010 Mw 8.8 Maule Mega-Thrust Earthquake of Central Chile, Monitored by GPS

C. Vigny, A. Socquet, S. Peyrat, J.-C. Ruegg, M. Métois, R. Madariaga, S. Morvan, M. Lancieri, R. Lacassin, J. Campos, D. Carrizo, M. Bejar-Pizarro, S. Barrientos, R. Armijo, C. Aranda, M.-C. Valderas-Bermejo, I. Ortega, F. Bondoux, S. Baize, H. Lyon-Caen, A. Pavez, J. P. Villette, M. Bevis, B. Brooks, R. Smalley, H. Parra, J.-C. Baez, M. Blanco, S. Cimbaro, E. Kendrick
(Science.1204132, 2011)



NO linealidad

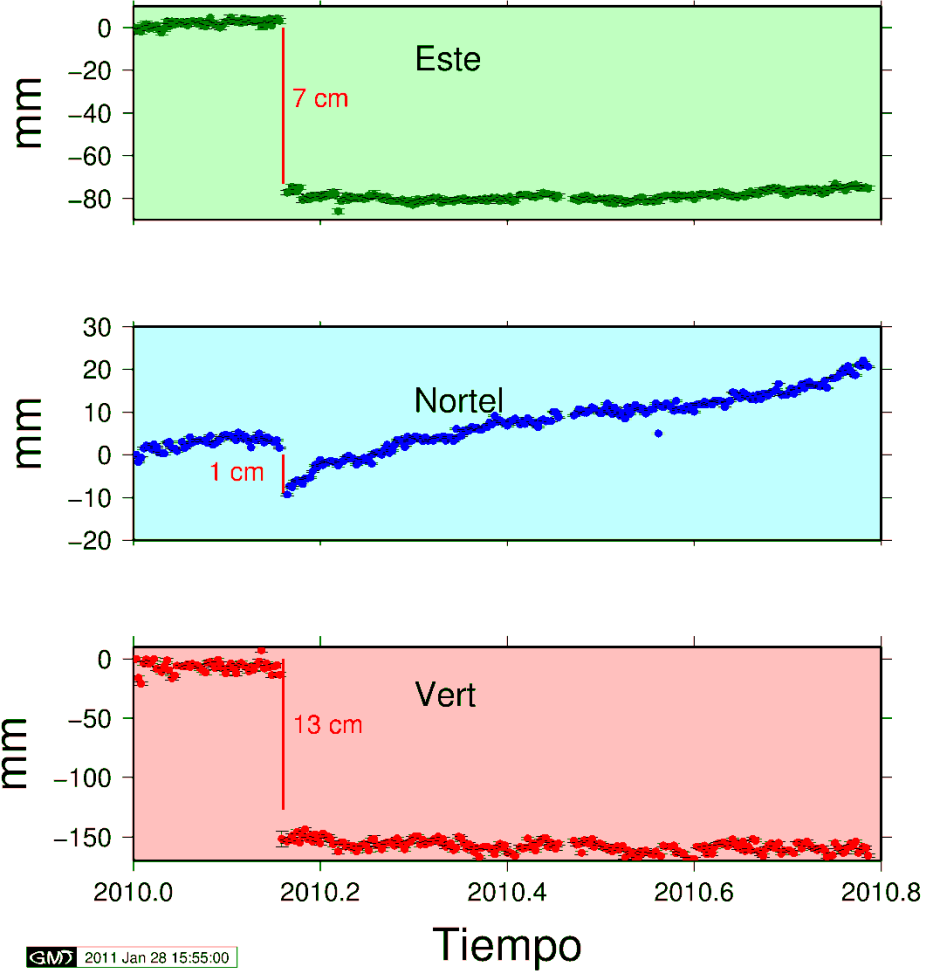




Time series Valparaiso

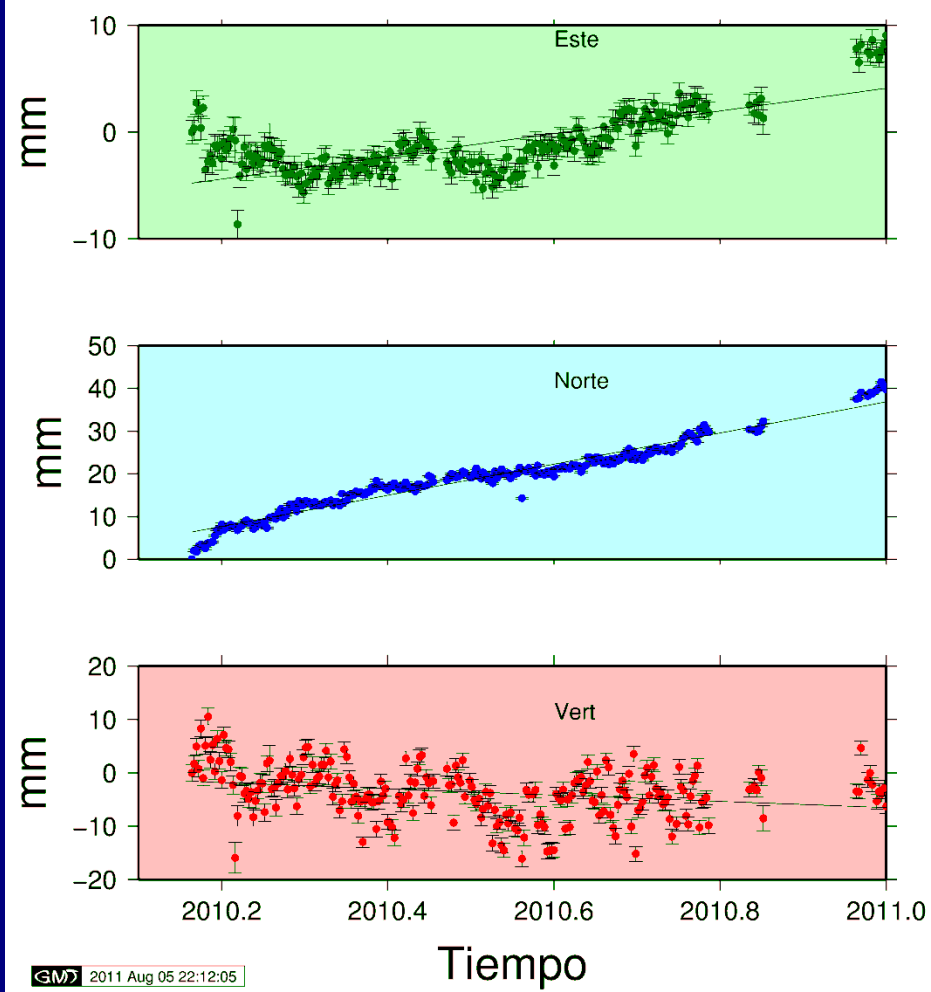
CO-SISMICO

VALP



POST-SISMICO

VALP

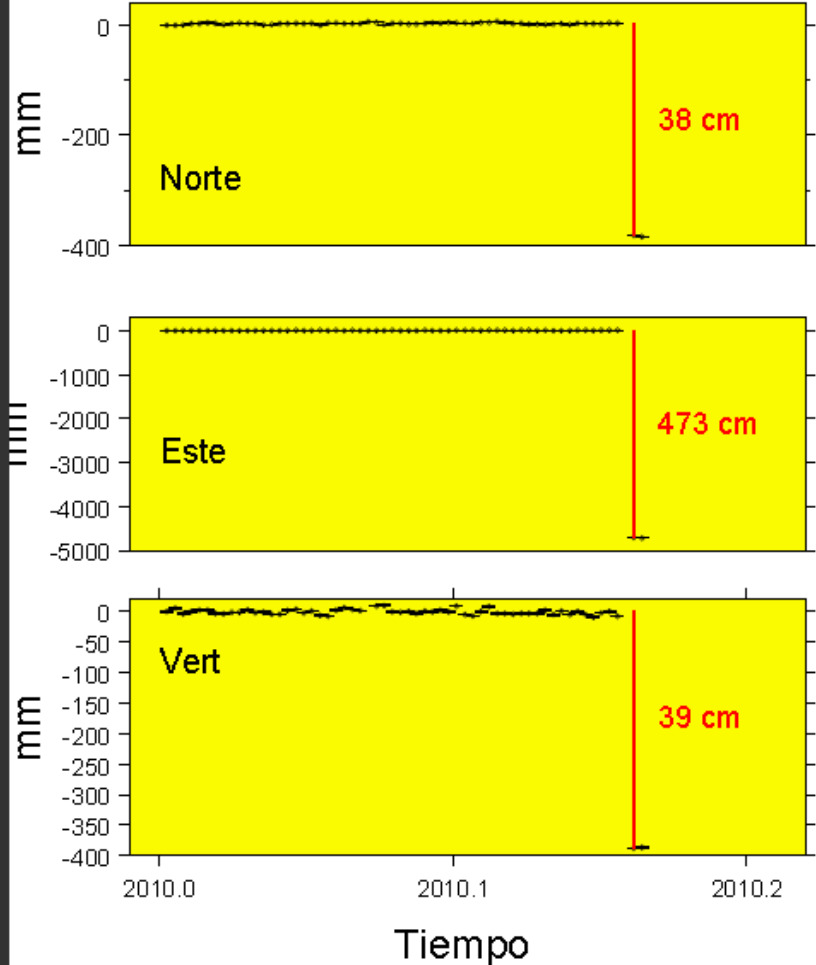




Time series Constitución

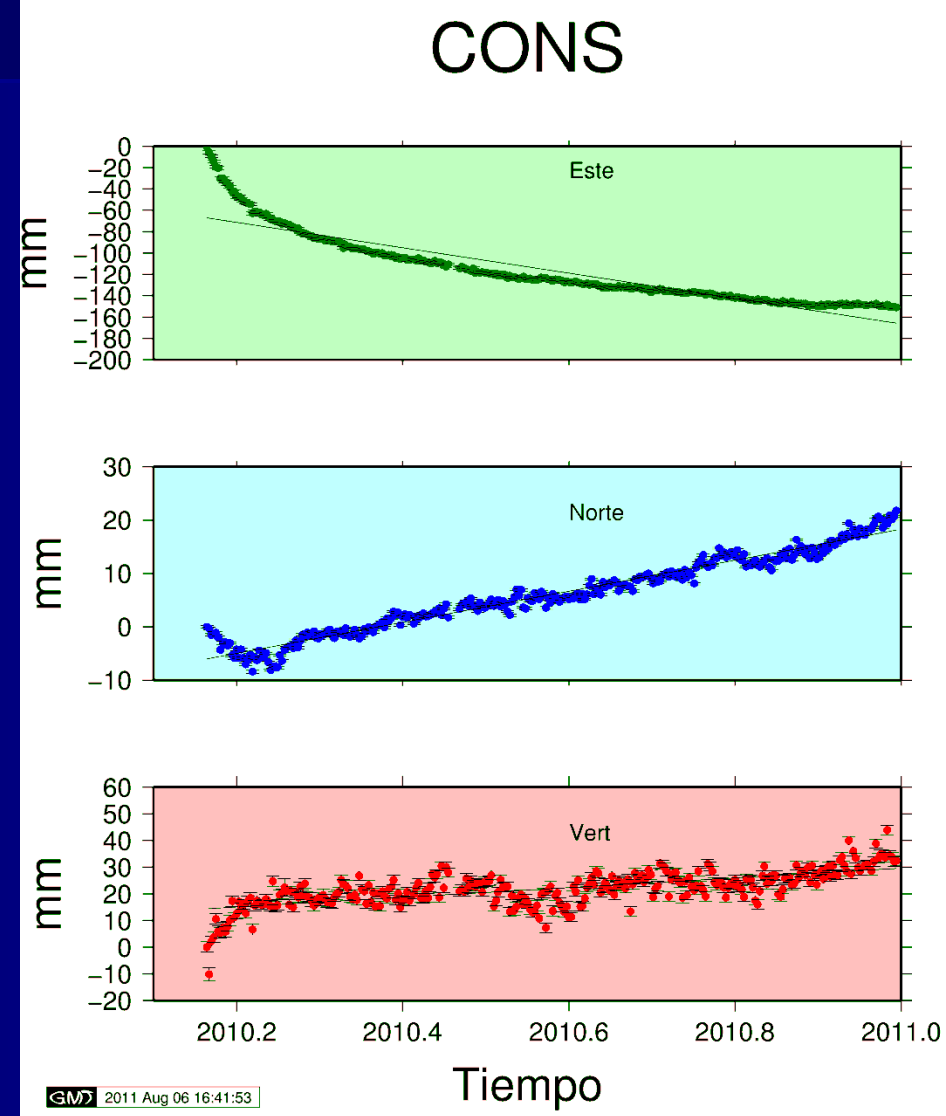
CO-SISMICO

CONS



POST-SISMICO

CONS

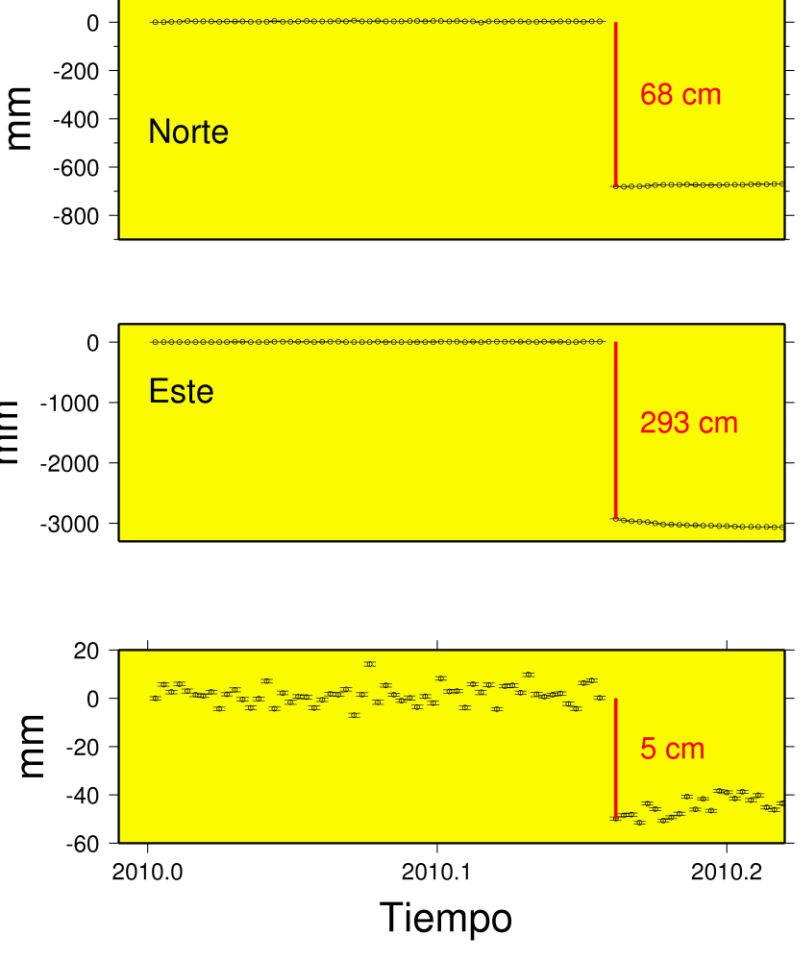




Time series Concepción

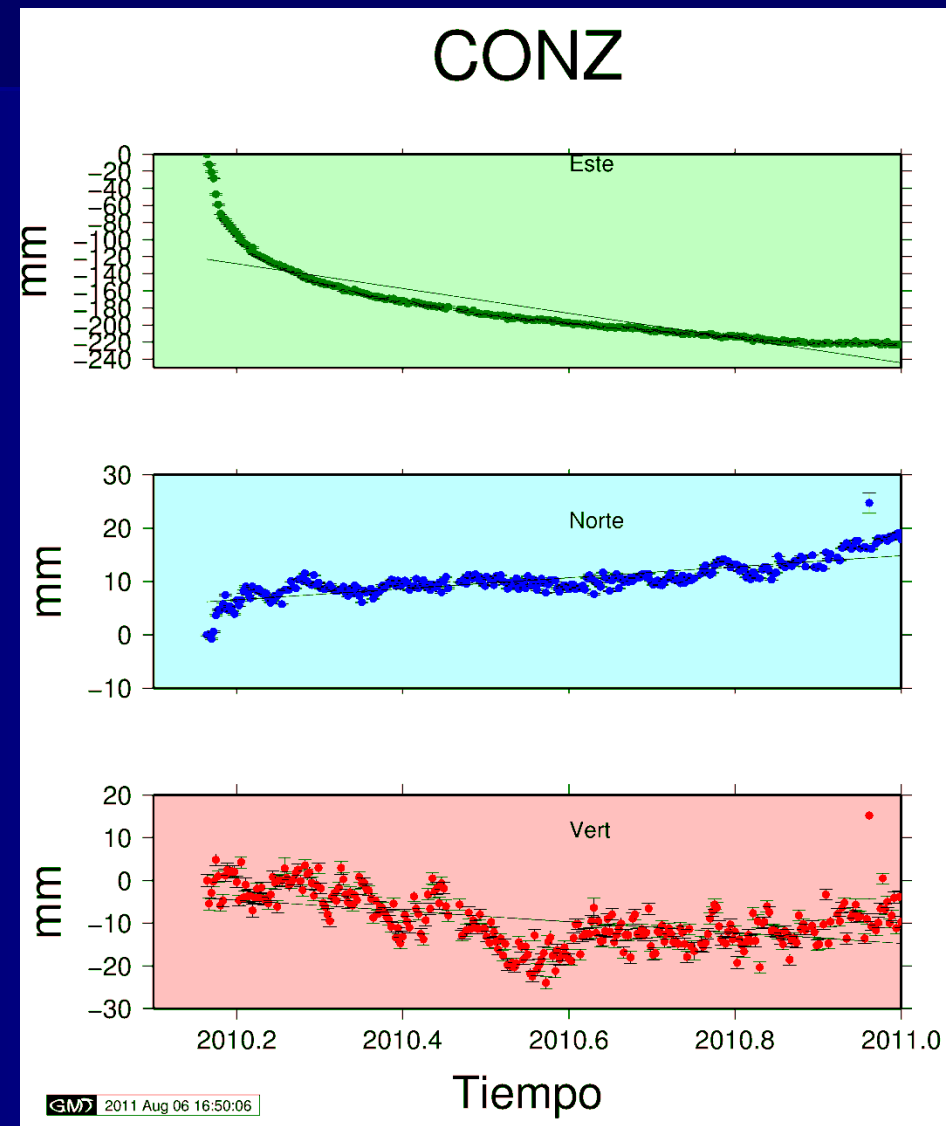
CO-SISMICO

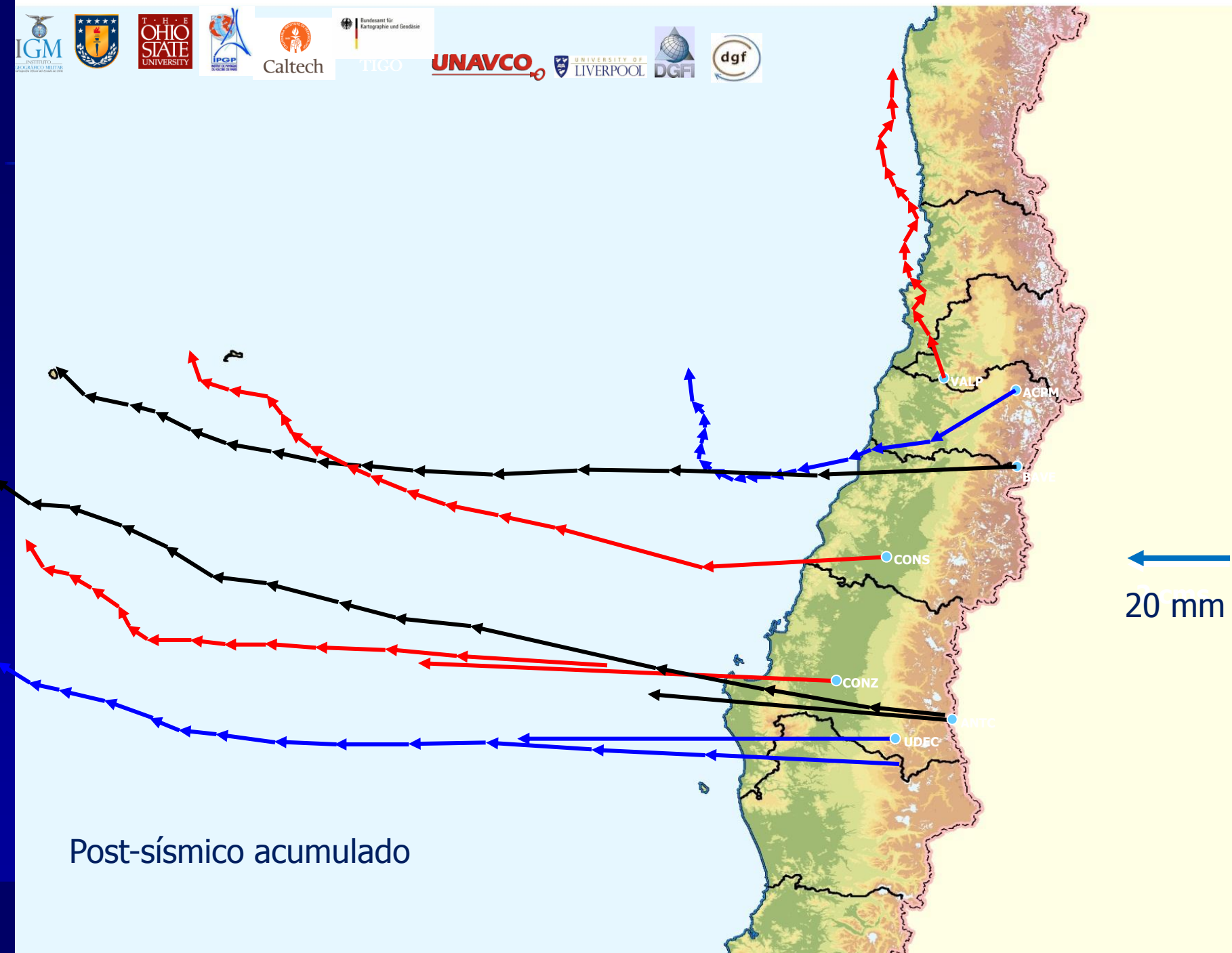
CONZ

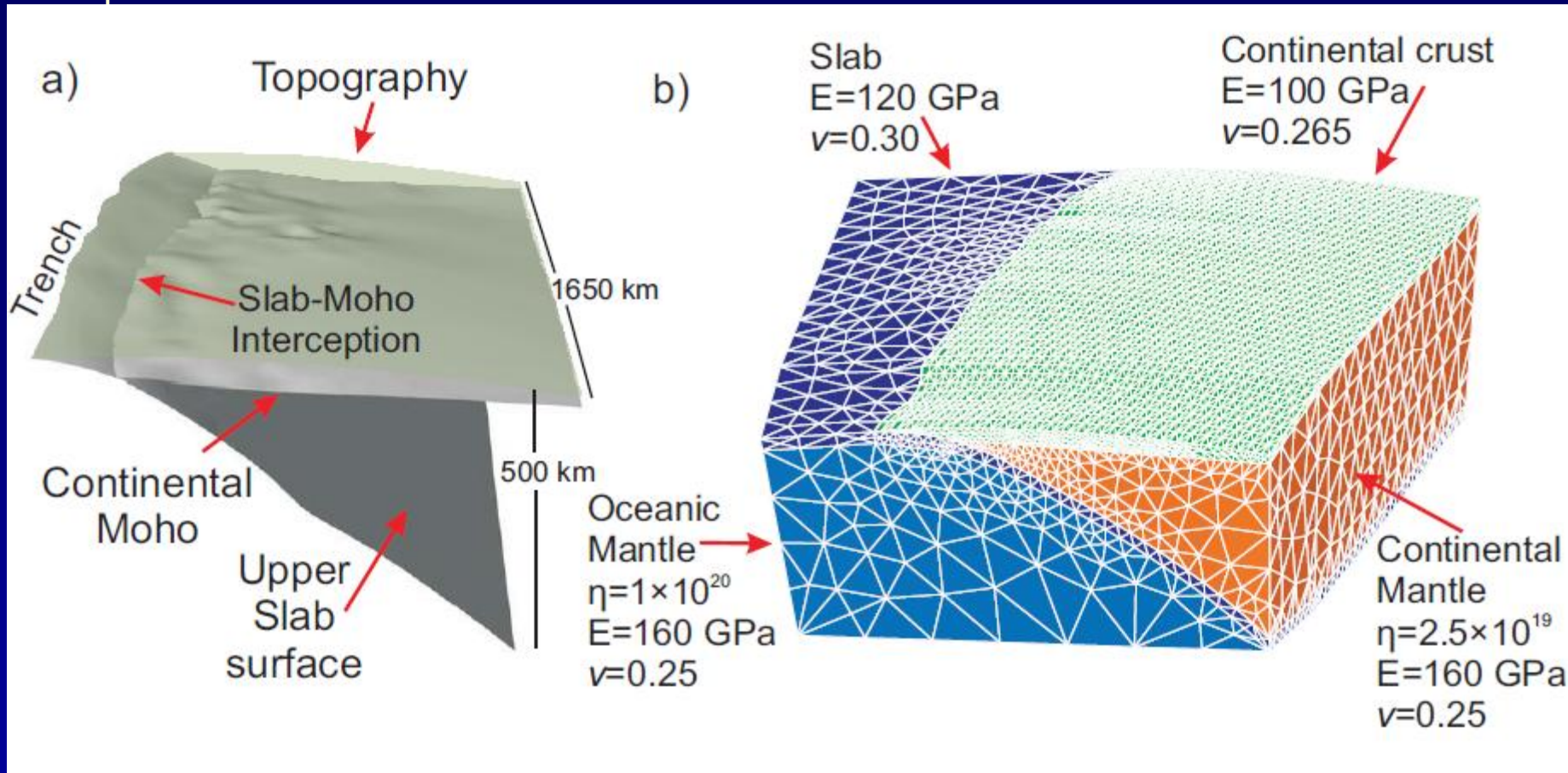


POST-SISMICO

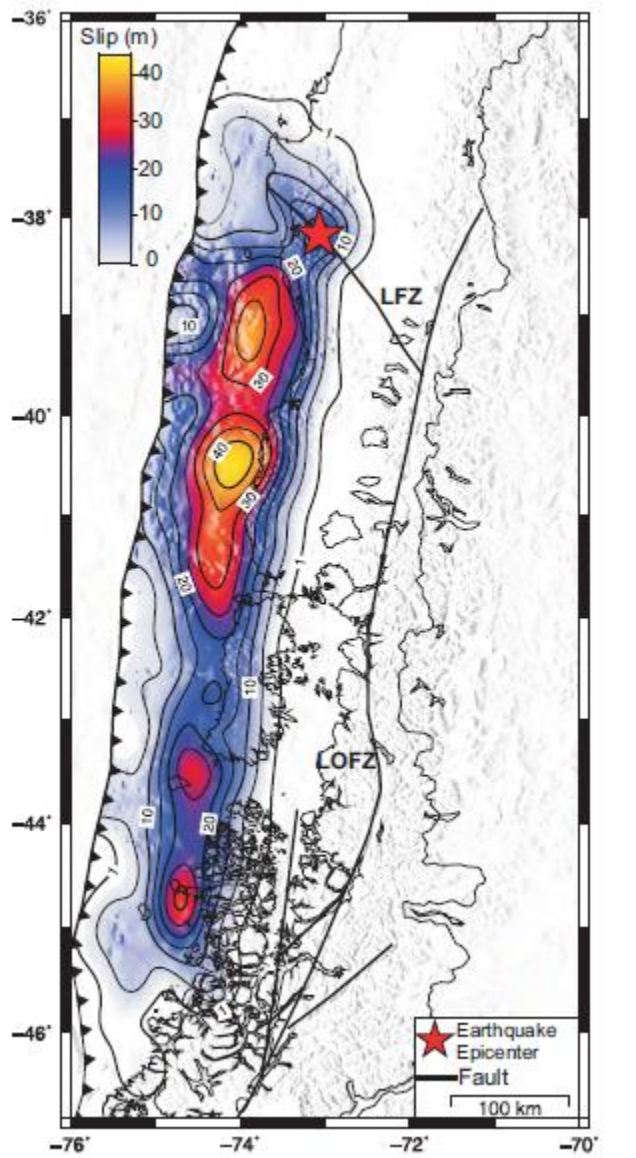
CONZ







Moreno et al, 2010

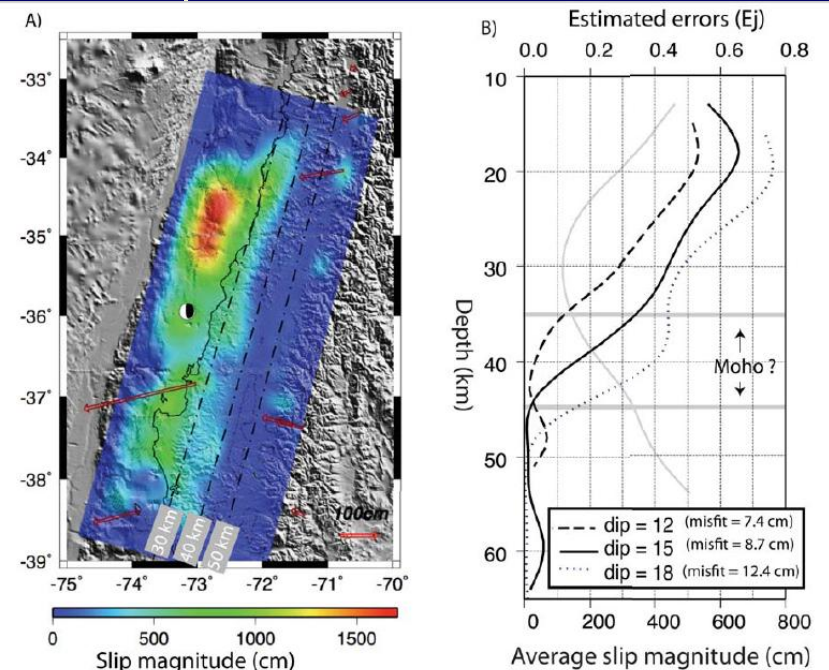


Earthquake cycle deformation and strain partitioning in the southern Andes from GPS and numerical models

Marcos Moreno, Daniel Melnick, Jan Bolte, Juergen Klotz, H. Echtler, Juan Báez, Junping Chen, Michael Bevis, Klaus Bataille, JGR2009JB007101

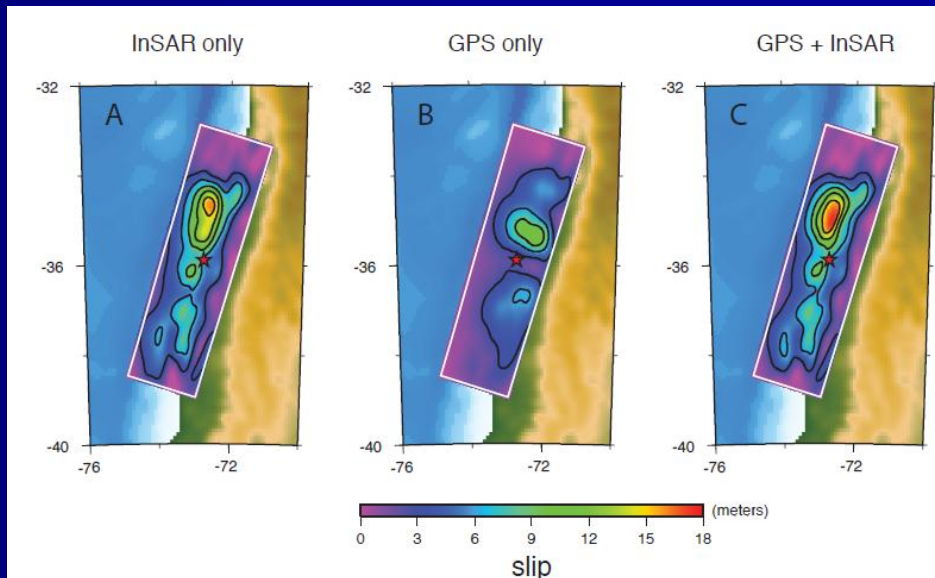


INSAR/GPS



The Mw8.8 2010 Maule, Chile Earthquake: Significant slip occurred only above the continental Moho
Xiaopeng Tong, David Sandwell , Karen Luttrell , Benjamin A. Brooks , Michael Bevis , Masanobu Shimada , James Foster , Robert Smalley Jr. , Héctor Parra , Juan Baez , Mauro blanco , Eric Kendrick , Jeff Genrich , Dana Caccamise II
GRL 2010GL045091 (in review)

Resolution of slip. a) and c) are the input structures, which are used to construct synthetic datasets using the same configuration of InSAR and GPS data as in the inversions with real data. b) and d) are the corresponding inverted slip distributions



Coseismic slip distribution of the February 27, 2010 Mw 8.9 Maule, Chile earthquake, Fred Pollitz, Benjamin A. Brooks , Xiaopeng Tong , Michael Bevis, James Foster , Roland Burgmann , Robert Smalley , Juan Baez, Christophe Vigny , Anne Socquet , Jean-Claude Ruegg , Jaime Campos , Sergio Barrientos , Héctor Parra, Sergio Cimbarro , Mauro blanco , 2011GL047065.



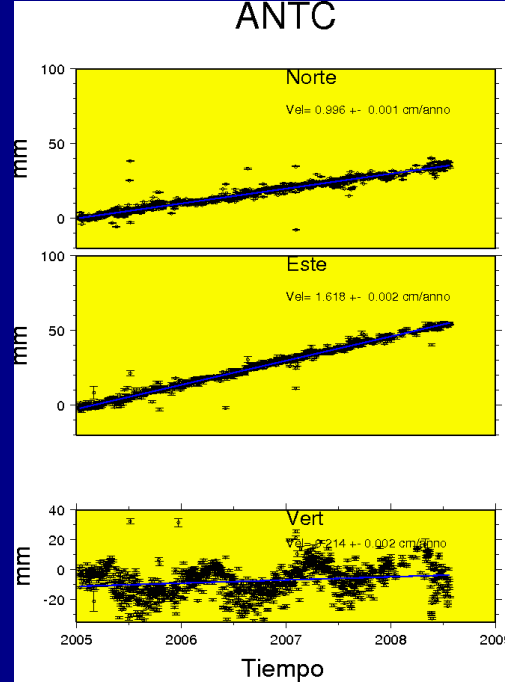
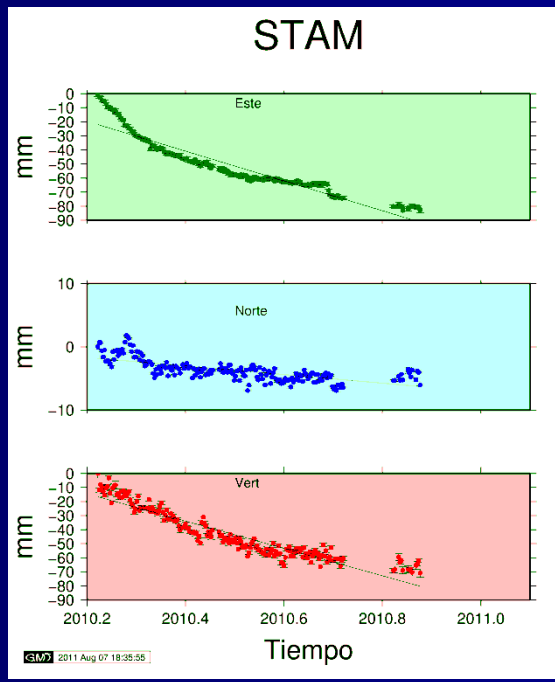
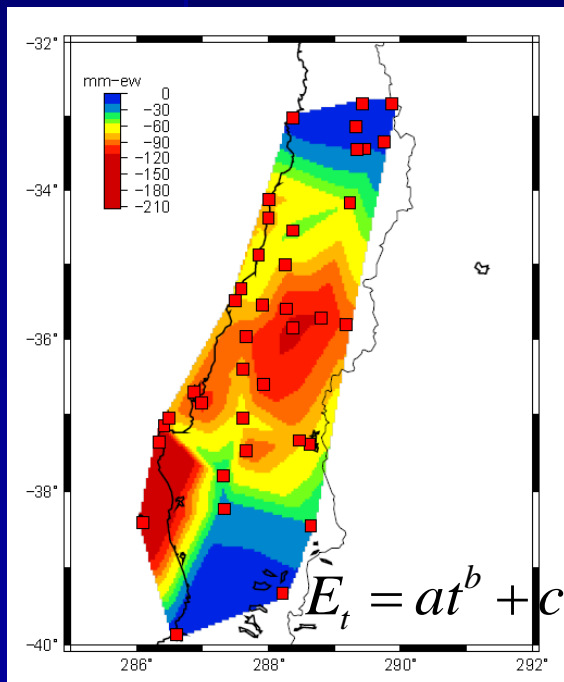
Estimación de la velocidad



Caso 1:

$$X_i = X_0 + V_0(t_i - t_0) + \sum r$$

$$\sum r = \Delta X_{CO} + \Delta X_{POST} + \Delta X_{SILENT} + \Delta X_{SEASONAL} + \varepsilon$$





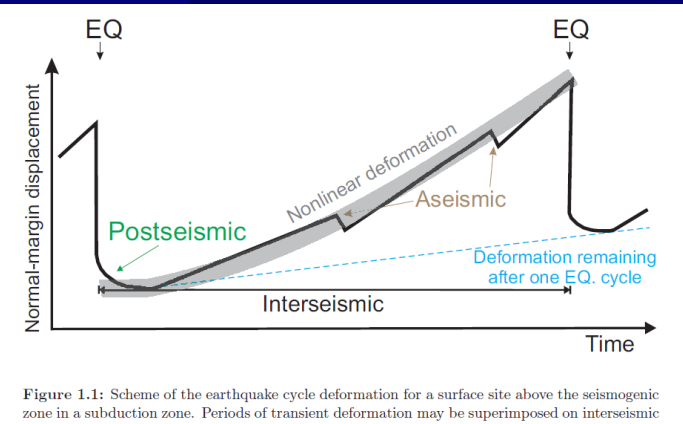
Estimación de la velocidad



Caso 1:

$$X_i = X_0 + V_0(t_i - t_0) + \sum r$$

$$\sum r = \Delta X_{CO} + \Delta X_{POST} + \Delta X_{SILENT} + \Delta X_{SEASONAL} + \varepsilon$$

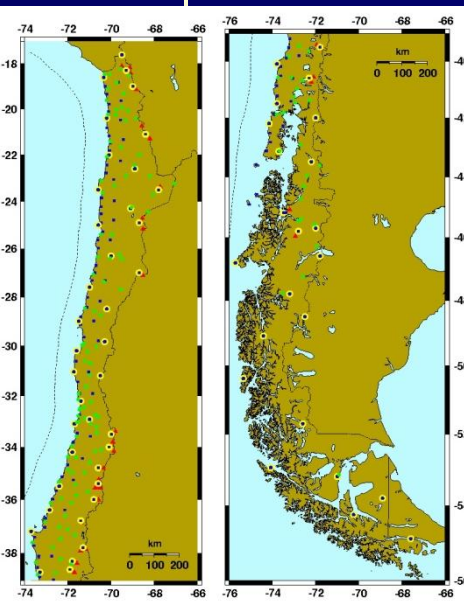


IGSyyPwWWW.SSC

Figure 1.1: Scheme of the earthquake cycle deformation for a surface site above the seismogenic zone in a subduction zone. Periods of transient deformation may be superimposed on interseismic strain accumulation influencing the interface coupling.

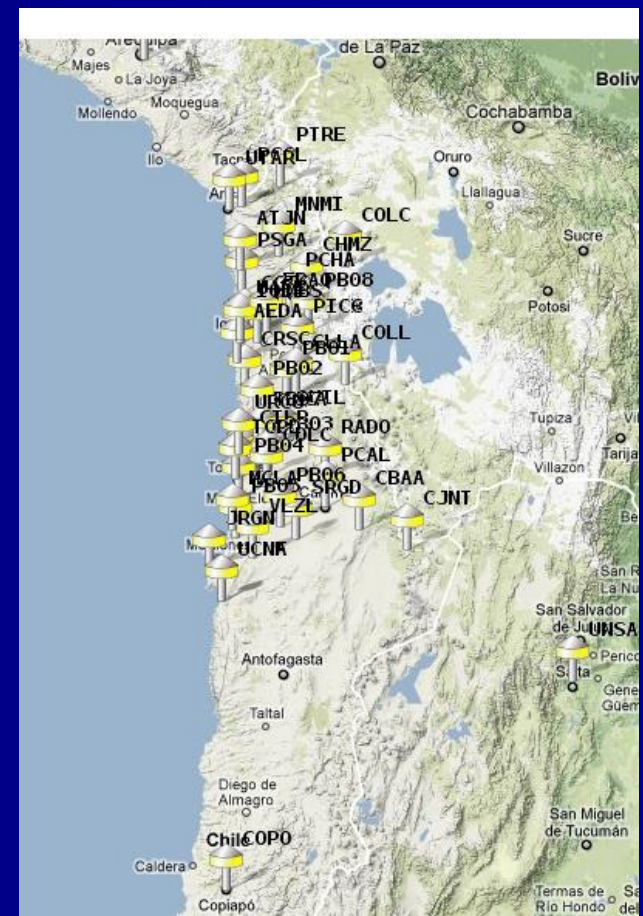
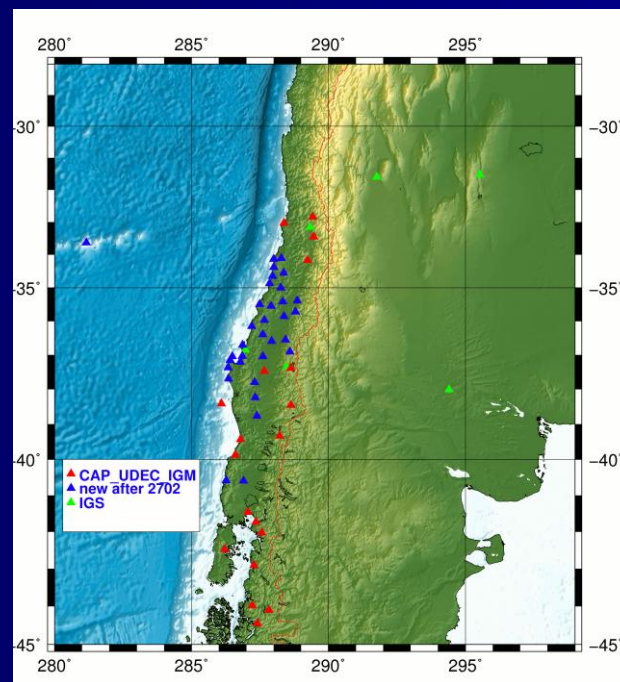


Caso 1:Densificación en curso (SSN) y otros



UNAVCO

UNIVERSITY OF LIVERPOOL





PROYECTO

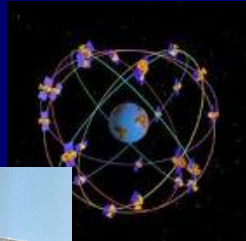
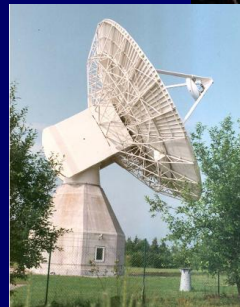


"Observaciones Geodésicas y Análisis de Sistemas en Regiones Sísmicas Activas en Chile"

Caso 2:



- Implementación de Centros de Análisis y Combinación Multi-técnica.



GNSS → IGM

VLBI → UDEC

LASER → UDEC

¿SOLUCIONES MENSULAES?



¡muchas Gracias!
Danke für alles!
Many thanks!
Muito obrigado!



“MONITOREAMIENTO DEL EFECTO POSTSISMICO DEL TERREMOTO DEL MAULE, A PARTIR DE OBSERVACIONES GNSS”



UNAVCO

UNIVERSITY OF
LIVERPOOL



Juan Carlos Báez Soto, UDEC, jbaez@udec.cl

Hector Parra, IGM-Chile

Rodrigo Maturana, IGM-Chile